

DOI: 10.3872/j.issn.1007-385x.2025.08.005

· 基础研究 ·

## 扁蒴藤素经 AKT/GSK-3 $\beta$ 信号通路增强乳腺癌 MCF-7 细胞对多柔比星的敏感性

程超, 王胃, 张卫群(新疆维吾尔自治区人民医院 乳腺甲状腺科, 新疆 乌鲁木齐 830000)

**[摘要]** **目的:** 探讨扁蒴藤素(PT)通过蛋白激酶B(AKT)/糖原合成酶激酶-3 $\beta$ (GSK-3 $\beta$ )信号通路对人乳腺癌细胞 MCF-7 多柔比星(DOX)敏感性的影响。**方法:** 体外培养 MCF-7 细胞并建立 DOX 耐药细胞 MCF-7/DOX。MCF-7 细胞设 NC 组、L-PT 组(2  $\mu\text{mol/L}$  PT)、M-PT 组(4  $\mu\text{mol/L}$  PT)、H-PT 组(8  $\mu\text{mol/L}$  PT)、H-PT + SC79 组(8  $\mu\text{mol/L}$  PT + 10  $\mu\text{mol/L}$  的 AKT/GSK-3 $\beta$  信号通路抑制剂 SC79)、H-PT + LY294002 组(8  $\mu\text{mol/L}$  PT + 2.5  $\mu\text{mol/L}$  的 AKT/GSK-3 $\beta$  信号通路激活剂 LY294002)。MCF-7/DOX 细胞设 MCF-7/DOX 组(未处理)、DOX 组(50 nmol/L DOX)、PT + DOX 组(8  $\mu\text{mol/L}$  PT 和 50 nmol/L DOX)、PT + DOX + SC79 组(8  $\mu\text{mol/L}$  PT + 50 nmol/L DOX + 10  $\mu\text{mol/L}$  SC79)、PT + DOX + LY294002 组(8  $\mu\text{mol/L}$  PT + 50 nmol/L DOX + 2.5  $\mu\text{mol/L}$  LY294002)。采用 MTT 法、平板克隆实验、划痕愈合实验、Transwell 实验及 WB 法分别检测细胞增殖、集落形成数、迁移、侵袭和 AKT/GSK-3 $\beta$  信号通路蛋白表达。建立 MCF-7 细胞裸鼠移植瘤模型, 观察 PT 对移植瘤生长、移植瘤组织中 AKT/GSK-3 $\beta$  信号通路蛋白表达的影响。**结果:** 与 NC 组相比, L-PT、M-PT、H-PT 组 MCF-7 细胞增殖率、集落形成数、划痕愈合率、侵袭细胞数及 p-AKT、p-GSK-3 $\beta$  蛋白表达均呈 PT 浓度依赖性降低(均  $P < 0.05$ ); 与 H-PT 组对比, H-PT + SC79 组 MCF-7 细胞上述指标变化趋势与上述相反, PT + DOX + LY294002 组 MCF-7 细胞上述指标变化趋势与上述相同(均  $P < 0.05$ )。MCF-7/DOX 组与 DOX 组细胞增殖率、集落形成数、划痕愈合率、侵袭细胞数及 p-AKT、p-GSK-3 $\beta$  蛋白表达无明显差异(均  $P > 0.05$ ); 分别与 MCF-7/DOX 组、DOX 组对比, PT + DOX 组 MCF-7/DOX 细胞上述指标均降低(均  $P < 0.05$ ); 对比 PT + DOX 组, PT + DOX + SC79 组上述指标均升高, PT + DOX + LY294002 组上述指标均降低(均  $P < 0.05$ )。裸鼠移植瘤实验显示, 与对照组和 DOX 相比, PT + DOX 组移植瘤质量、体积、p-AKT、p-GSK-3 $\beta$  蛋白表达均降低(均  $P < 0.05$ )。**结论:** PT 抑制乳腺癌细胞增殖、迁移和侵袭, 并增强其对 DOX 的化疗敏感性, 其机制与抑制 AKT/GSK-3 $\beta$  信号通路有关。

**[关键词]** 扁蒴藤素; 蛋白激酶 B/糖原合成酶激酶-3 $\beta$ ; 乳腺癌; MCF-7 细胞; 化疗敏感性

**[中图分类号]** R737.9; R730.53 **[文献标识码]** A **[文章编号]** 1007-385x(2025) 08-0823-08

## Pristimerin enhances the doxorubicin sensitivity of breast cancer MCF-7 cells via the AKT/GSK-3 $\beta$ signaling pathway

CHENG Chao, WANG Zhou, ZHANG Weiqun (Department of Breast and Thyroid, Xinjiang Uygur Autonomous Region People's Hospital, Urumqi 83000, Xinjiang, China)

**[Abstract]** **Objective:** To investigate the effect of pristimerin (PT) on doxorubicin (DOX) sensitivity of human breast cancer cell MCF-7 by regulating the protein kinase B (AKT)/glycogen synthase kinase-3 $\beta$  (GSK-3 $\beta$ ) signaling pathway. **Methods:** MCF-7 cells were cultured *in vitro* and used to construct a DOX resistant cell line MCF-7/DOX. MCF-7 cells were separated into the NC group, the L-PT group (2  $\mu\text{mol/L}$  PT), the M-PT group (4  $\mu\text{mol/L}$  PT), the H-PT group (8  $\mu\text{mol/L}$  PT), the H-PT+SC79 group (8  $\mu\text{mol/L}$  PT + 10  $\mu\text{mol/L}$  AKT/GSK-3 $\beta$  signaling pathway inhibitor SC79), and the H-PT + LY294002 group (8  $\mu\text{mol/L}$  PT + 2.5  $\mu\text{mol/L}$  AKT/GSK-3 $\beta$  signaling pathway activator LY294002). MCF-7/DOX cells were separated into the MCF-7/DOX group (untreated), the DOX group (50 nmol/L DOX), PT + DOX group (8  $\mu\text{mol/L}$  PT and 50 nmol/L DOX), the PT + DOX + SC79 group (8  $\mu\text{mol/L}$  PT + 50 nmol/L DOX + 10  $\mu\text{mol/L}$  SC79), and the PT + DOX + LY294002 group (8  $\mu\text{mol/L}$  PT + 50 nmol/L DOX + 2.5  $\mu\text{mol/L}$  LY294002). MTT assay, plate cloning assay, scratch assay, Transwell assay, and WB assay were applied respectively to determine cell proliferation, colony formation, migration, invasion, and AKT/GSK-3 $\beta$  signaling pathway protein expression in each group. Establish a MCF-7 cell

**[基金项目]** 新疆维吾尔自治区自然科学基金(No. 2020D01C117)

**[作者简介]** 程超(1988—), 男, 硕士, 主治医师, 主要从事乳腺、甲状腺肿瘤诊治相关研究

**[通信作者]** 张卫群(扫码获取作者联系方式)



xenograft model in nude mice to observe the effects of PT on tumor growth and the protein expression of the AKT/GSK-3 $\beta$  signaling pathway in the tumor tissues. **Results:** Compared with the NC group, the proliferation rate, colony formation rate, scratch healing rate, invasive cell count, and the p-AKT, p-GSK-3 $\beta$  protein expressions of MCF-7 cells in the L-PT group, the M-PT group, and the H-PT group all showed a PT concentration dependent decrease (all  $P < 0.05$ ). Compared with the H-PT group, the trend of changes in the above indicators of MCF-7 cells in the H-PT + SC79 group was opposite to the above, while the trend of changes in the above indicators of MCF-7 cells in the PT + DOX + LY294002 group was the same (all  $P < 0.05$ ). There was no significant difference in the proliferation rate, colony formation number, scratch healing rate, invasive cell count, and expressions of p-AKT and p-GSK-3 $\beta$  proteins between the MCF-7/DOX group and the DOX group (all  $P > 0.05$ ). Compared with the MCF-7/DOX group and the DOX group, the PT + DOX group showed a decrease in the above indicators of MCF-7/DOX cells (all  $P < 0.05$ ). Compared with the PT + DOX group, the above indicators in the PT + DOX + SC79 group all increased, while the above indicators in the PT + DOX + LY294002 group all decreased (all  $P < 0.05$ ). Transplant tumor experiment in nude mice showed that compared with those in the control group and the DOX group, the mass and volume of transplant tumors, p-AKT and p-GSK-3 $\beta$  protein expressions in the PT + DOX group all decreased (all  $P < 0.05$ ). **Conclusion:** PT can inhibit the proliferation, migration, and invasion of BC cells, and enhance their sensitivity to DOX chemotherapy. Its mechanism is related to the inhibition of the AKT/GSK-3 $\beta$  signaling pathway.

**[Key words]** pristimerin (PT); protein kinase B/glycogen synthase kinase-3 $\beta$  (AKT/GSK-3 $\beta$ ); breast cancer; MCF-7 cell; chemotherapy sensitivity

[Chin J Cancer Biother, 2025, 32(8): 823-830. DOI: 10.3872/j.issn.1007-385x.2025.08.005]

乳腺癌起源于乳腺上皮组织,是女性最常见的恶性肿瘤,也是仅次于肺癌的第二大致命肿瘤类型<sup>[1]</sup>。近年来,伴随晚育、少育及生活方式紊乱日益普遍,乳腺癌发病率以年均5%的速率上升,严重危害女性身心健康<sup>[2]</sup>。手术联合放化疗及靶向治疗是乳腺癌的主要治疗策略,其中化疗是必不可少的传统治疗方法,但乳腺癌存在显著异质性,经多周期化疗后,常出现获得性耐药,导致化疗效果降低,显著影响患者生存与预后<sup>[3]</sup>。因此,阐明乳腺癌耐药机制,提升细胞化疗敏感性对乳腺癌治疗至关重要。蛋白激酶B (protein kinase B, AKT)是一种丝/苏氨酸激酶,在多种恶性肿瘤中被高度激活,激活后,AKT被转移到不同的亚细胞区室,以磷酸化形式调控其下游靶基因糖原合成酶激酶3 $\beta$  (glycogen synthase kinase-3 $\beta$ , GSK-3 $\beta$ ),参与肿瘤细胞的迁移和转移<sup>[4,5]</sup>。既往研究<sup>[6]</sup>显示,抑制PI3K/AKT/GSK-3 $\beta$ 信号通路可增强肉骨瘤细胞对多柔比星 (doxorubicin, DOX) 的敏感性。因此,推测AKT/GSK-3 $\beta$ 信号通路可能与乳腺癌细胞化疗敏感性有关。扁蒴藤素 (pristimerin, PT)是一种广泛存在于木犀科、卫矛科家族植物中的醌甲醚三萜类化合物,可诱导细胞凋亡和自噬,抑制血管生成和癌症转移<sup>[7]</sup>。临床报道<sup>[8]</sup>显示,PT可有效抑制肝细胞癌细胞的恶性生物学行为,增强肝细胞癌细胞对吉西他滨的敏感性。然而,PT是否通过调控AKT/GSK-3 $\beta$ 信号通路来影响乳腺癌细胞化疗敏感性尚不明确。因此,本研究基于AKT/GSK-3 $\beta$ 信号通路探讨PT对乳腺癌细胞化疗敏感性的影响,以期对乳腺癌治疗提供参考。

## 1 材料与方法

### 1.1 主要材料与试剂

人乳腺癌细胞MCF-7购自中国科学院上海细胞库;30只SPF级4周龄雌性BALB/c-nu裸鼠购自北京华阜康生物科技有限公司[生产许可证号:SCXK(京)2024-0003],体质量16~20 g。PT(纯度 $\geq 99\%$ )、AKT的抑制剂SC79和激活剂LY294002均购自美国Med Chem Express公司,DOX购自北京百奥莱博科技有限公司,CCK-8试剂盒、MTT试剂盒、结晶紫染液均购自美国Abcam公司,Matrigel基质胶购自美国Corning公司,AKT、p-AKT、GSK-3 $\beta$ 、p-GSK-3 $\beta$ 及 $\beta$ -actin一抗均购自北京Solarbio公司。

### 1.2 建立DOX耐药MCF-7/DOX细胞并筛选PT最佳作用浓度

MCF-7/DOX细胞构建<sup>[9]</sup>:MCF-7细胞培养于含10% FBS的DMEM培养基,取对数期细胞,置于50 nmol/L DOX培养基中培养72 h,转入无DOX的培养基中恢复细胞状态,随后再次置于含50 nmol/L DOX的培养基中,上述步骤重复4次,得到耐DOX的MCF-7/DOX细胞。

PT浓度筛选:取对数期MCF-7细胞,分别以0、1、2、4、8、16  $\mu\text{mol/L}$ 的PT处理<sup>[10]</sup>,培养48 h后加入20  $\mu\text{L}$  CCK-8试剂处理1.5 h,按照CCK-8试剂盒说明书测定450 nm处光密度(D)值,通过MCF-7细胞增殖率筛选适宜浓度PT。

### 1.3 MCF-7及MCF-7/DOX细胞分组

将对数生长期MCF-7细胞随机分为NC组、L-PT组(2  $\mu\text{mol/L}$  PT)、M-PT组(4  $\mu\text{mol/L}$  PT)、H-PT组(8  $\mu\text{mol/L}$  PT)、H-PT + SC79组(8  $\mu\text{mol/L}$  PT + 10  $\mu\text{mol/L}$  SC79<sup>[11]</sup>)、H-PT + LY294002组(8  $\mu\text{mol/L}$  PT + 2.5  $\mu\text{mol/L}$  LY294002<sup>[11]</sup>)。

MCF-7/DOX 细胞分为 MCF-7/DOX 组(未处理)、DOX 组(50 nmol/L DOX)、PT + DOX 组(8  $\mu$ mol/L PT 联合 50 nmol/L DOX)、PT + DOX + SC79 组(8  $\mu$ mol/L PT + 50 nmol/L DOX + 10  $\mu$ mol/L SC79)、PT + DOX + LY294002 组(8  $\mu$ mol/L PT + 50 nmol/L DOX + 2.5  $\mu$ mol/L LY294002)。

#### 1.4 MTT 法检测细胞增殖

将经胰酶消化后的对数期细胞以  $4 \times 10^3$  个/190  $\mu$ L 接种于 96 孔板, 按 1.3 分组处理 24 h, 每孔加入 25  $\mu$ L MTT 溶液, 反应 4 h, 弃上清液, 每孔加入 150  $\mu$ L DMSO 溶解甲臜结晶, 于 490 nm 测定  $D$  值。细胞增殖率 = [(实验组  $D$  值 - 空白组  $D$  值)/(对照组  $D$  值 - 空白组  $D$  值)]  $\times$  100%。

#### 1.5 平板克隆形成实验

将 MCF-7 细胞、MCF-7/DOX 细胞以  $1 \times 10^3$  个接种于 96 孔板, 按 1.3 分组处理细胞 24 h, 常规培养 14 d, 期间定期更换培养基, 肉眼可见克隆形成, 移除培养基, 用 4% 的多聚甲醛固定, 并用 0.1% 结晶紫染色 30 min, 洗涤、晾干后在倒置显微镜下计数克隆。

#### 1.6 划痕愈合实验检测细胞迁移能力

细胞经胰酶消化后重悬于无血清培养基, 将细胞转移到 6 孔板中培养至完全汇合, 随后用移液器吸头在单层细胞上划痕形成无细胞带, PBS 冲洗去除脱落细胞, 于 0、24 h 后, 光学显微镜观察划痕并拍照, 计算划痕愈合率。划痕愈合率 = (0 h 划痕面积 - 24 h 划痕面积)/0 h 划痕面积]  $\times$  100%。

#### 1.7 Transwell 实验检测细胞侵袭能力

用无血清培养基重悬 1.3 分组后的 MCF-7 及 MCF-7/DOX 细胞, 按  $5 \times 10^4$  个/200  $\mu$ L 接种于 Transwell 上室(涂布 Matrigel 基质胶), 下室加入 600  $\mu$ L 含血清培养基, 培养 48 h 后用甲醇固定侵袭到下室的细胞, 并用 0.5% 结晶紫染色, 倒置荧光显微镜观察、拍照。

#### 1.8 裸鼠移植瘤模型构建及药效评价

裸鼠饲养于新疆维吾尔自治区疾病预防控制中心, 使用许可证号: SYXK(新)2021-0002。本研究已经过动物福利伦理审查(审批号: KY2020101912), 饲养条件: 温度(24  $\pm$  2) $^{\circ}$ C, 湿度 40%~60%, 12 h 明暗交替, 每日通风, 自由饮食进水。MCF-7/DOX 细胞胰酶消化后重悬至  $1 \times 10^6$  个/L, 取 0.2 mL 接种于裸鼠腋下, 之后将裸鼠置于层流罩内饲养, 2 周后裸鼠腋下可触及瘤块则接种成功。当肿瘤长至约 80 mm<sup>3</sup> 时随机分为对照组、DOX 组(25 mg/kg)、PT + DOX 组(2 mg/kg<sup>[12]</sup> + 25 mg/kg), 经腹腔注射给药, 末次给药 24 h 后称量小鼠体重, 异氟烷麻醉(初始 4%~5%, 维持 2%~3%, 至意识丧失)1~3 min, 颈椎脱臼处死裸

鼠, 剥离移植瘤并测定其体积、质量。

#### 1.9 WB 法检测蛋白质表达

收集各组细胞并用冰冷的 PBS 洗涤, 沉淀重悬于裂解缓冲液并充分裂解, BCA 法定量蛋白浓度, 取 40  $\mu$ g 蛋白行 SDS-PAGE 后转移到 PVDF 膜上, 用含有 5% 脱脂奶粉的 TBST 缓冲液封闭膜, 加入一抗 4  $^{\circ}$ C 下过夜, TBST 缓冲液洗涤 3 次后将膜在室温下与二抗孵育 2 h, ECL 法显色, Image J 软件评估蛋白灰度值。

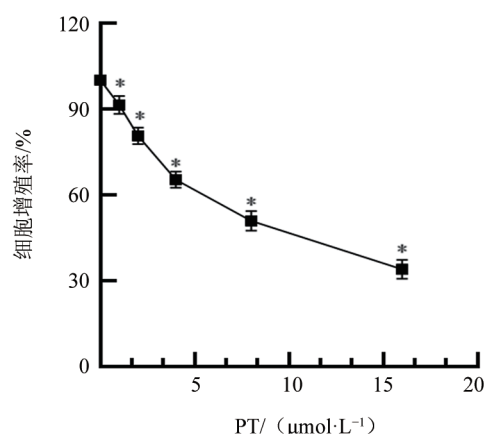
#### 1.10 统计学处理

使用 GraphPad Prism 9 与 SPSS26.0 进行统计分析, 符合正态分布的计量数据以  $\bar{x} \pm s$  表示, 多组数据对比采用单因素方差分析, 两两多重比较采用 SNK- $q$  检验, 以  $P < 0.05$  或  $P < 0.01$  表示差异具有统计学意义。

## 2 结果

### 2.1 PT 呈剂量依赖性抑制 MCF-7 细胞增殖

CCK-8 检测结果(图 1)显示, 使用不同浓度(0、1、2、4、8、16  $\mu$ mol/L)的 PT 处理 MCF-7 细胞 24 h 后, MCF-7 细胞增殖率随剂量递增而显著降低( $P < 0.05$ ), 经计算, PT 对 MCF-7 细胞的 IC<sub>50</sub> 值为 8.11  $\mu$ mol/L, 因此选择浓度为 2、4、8  $\mu$ mol/L 的 PT 进行后续研究。



与 0  $\mu$ mol/L PT 组相比,  $*P < 0.05$

图 1 PT 对 MCF-7 细胞增殖的影响

### 2.2 PT 抑制 MCF-7 细胞的克隆形成

克隆形成实验检测结果(图 2)显示, 与 NC 组相比, 低、中、高剂量 PT 组 MCF-7 细胞增殖率及克隆形成数呈浓度依赖性下降(均  $P < 0.05$ ); 与 H-PT 组相比, H-PT + SC79 组上述指标回升, 而 H-PT + LY294002 组进一步下降(均  $P < 0.05$ )。

### 2.3 PT 抑制 MCF-7 细胞的迁移和侵袭能力

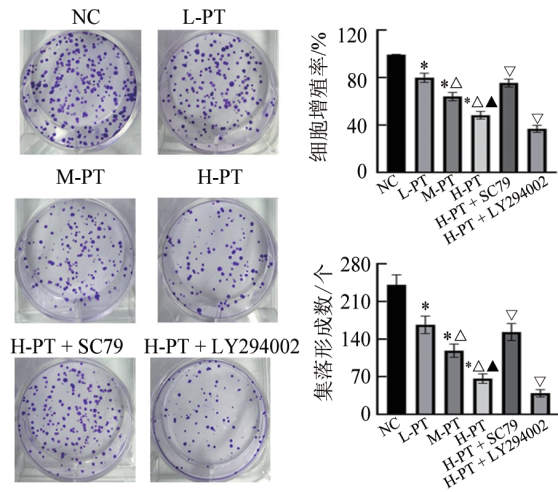
划痕愈合实验(图 3A)与 Transwell 实验(图 3B)



检测结果显示,与NC组对比,L-PT组、M-PT组、H-PT组MCF-7细胞划痕愈合率及侵袭细胞数随PT浓度升高而显著降低(均 $P < 0.05$ );与H-PT组对比,H-PT + SC79组MCF-7细胞划痕愈合率及侵袭细胞数均回升,H-PT + LY294002组MCF-7细胞划痕愈合率及侵袭细胞数均进一步降低(均 $P < 0.05$ )。

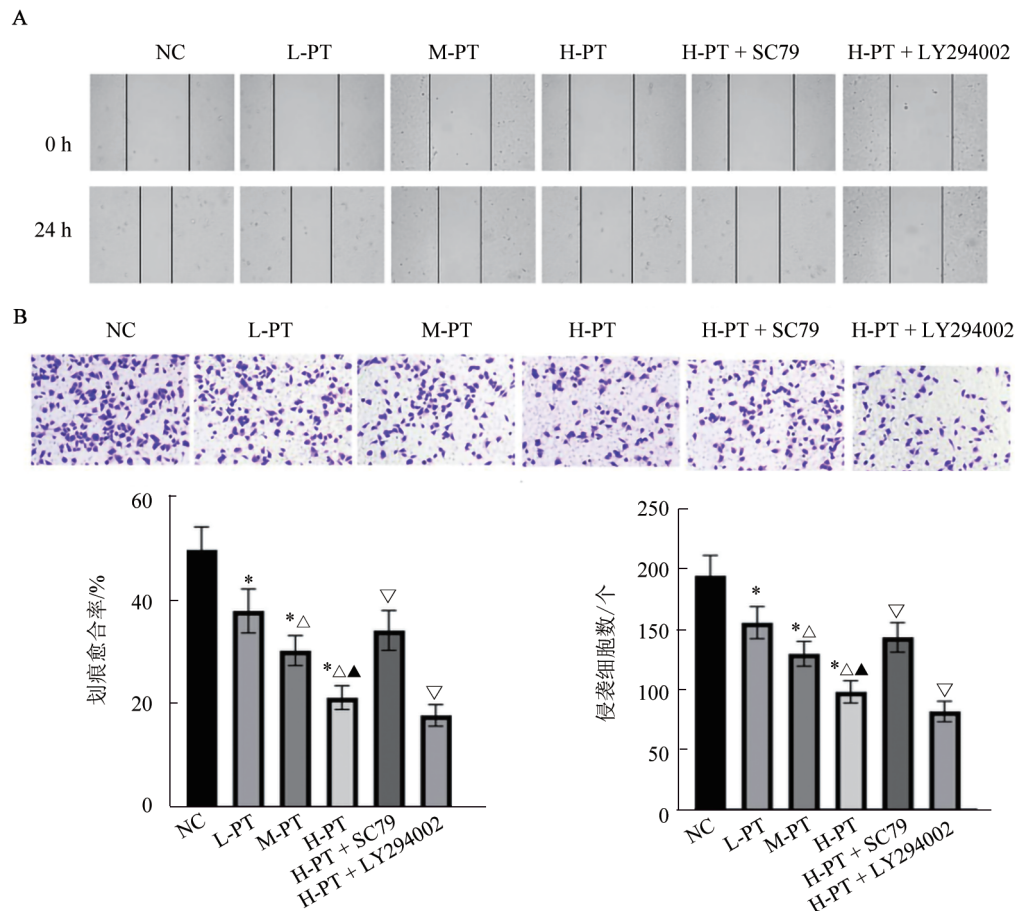
#### 2.4 PT对MCF-7细胞AKT/GSK-3 $\beta$ 信号通路蛋白的影响

WB检测结果(图4)显示,与NC组对比,L-PT组、M-PT组、H-PT组MCF-7细胞p-AKT、p-GSK-3 $\beta$ 蛋白表达随PT浓度升高而显著降低(均 $P < 0.05$ ),而总AKT与GSK-3 $\beta$ 蛋白水平在各组间差异均无统计学意义(均 $P > 0.05$ );与H-PT组对比,H-PT + SC79组MCF-7细胞p-AKT、p-GSK-3 $\beta$ 蛋白表达均回升,而H-PT + LY294002组进一步降低(均 $P < 0.05$ ),AKT、GSK-3 $\beta$ 无显著差异( $P > 0.05$ )。



与NC组相比,\* $P < 0.05$ ;与L-PT组相比, $\Delta P < 0.05$ ;与M-PT组相比, $\blacktriangle P < 0.05$ ;与H-PT组相比, $\nabla P < 0.05$ 。

图2 各组MCF-7细胞增殖及克隆形成情况



A: 划痕实验检测细胞划痕愈合率( $\times 100$ );B: Transwell实验检测侵袭细胞数( $\times 200$ )。与NC组相比,\* $P < 0.05$ ;与L-PT组相比, $\Delta P < 0.05$ ;与M-PT组相比, $\blacktriangle P < 0.05$ ;与H-PT组相比, $\nabla P < 0.05$ 。

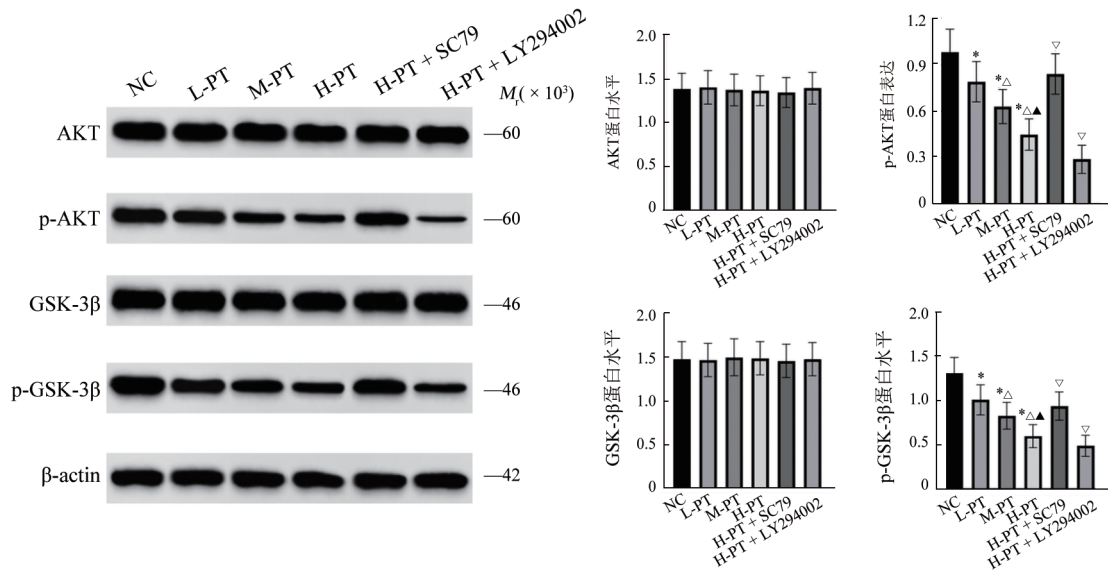
图3 各组MCF-7细胞划痕愈合及细胞侵袭情况

#### 2.5 PT对MCF-7/DOX细胞增殖及集落形成的影响

MTT法和克隆形成实验检测结果(图5)显示,MCF-7/DOX组、DOX组MCF-7/DOX细胞增殖率及克隆形成数差异无统计学意义(均 $P > 0.05$ );与

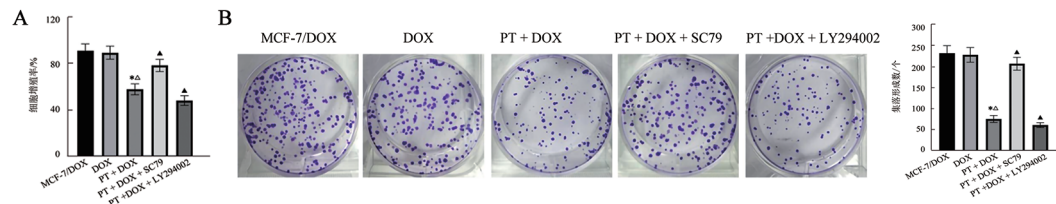
MCF-7/DOX组、DOX组相比,PT + DOX组细胞增殖率及克隆形成数均降低(均 $P < 0.05$ );与PT + DOX组相比,PT + DOX + SC79组细胞增殖率及克隆形成数均升高,PT + DOX + LY294002组细胞增殖率及集

落形成数均降低( $P < 0.05$ )。



与 NC 组相比, \* $P < 0.05$ ; 与 L-PT 组相比,  $\Delta P < 0.05$ ; 与 M-PT 组相比,  $\blacktriangle P < 0.05$ ; 与 H-PT 组相比,  $\nabla P < 0.05$ 。

图4 各组 MCF-7 细胞 AKT/GSK-3 $\beta$  信号通路蛋白表达



A: MTT 法检测细胞的增殖能力; B: 克隆形成实验检测细胞的克隆形成能力。

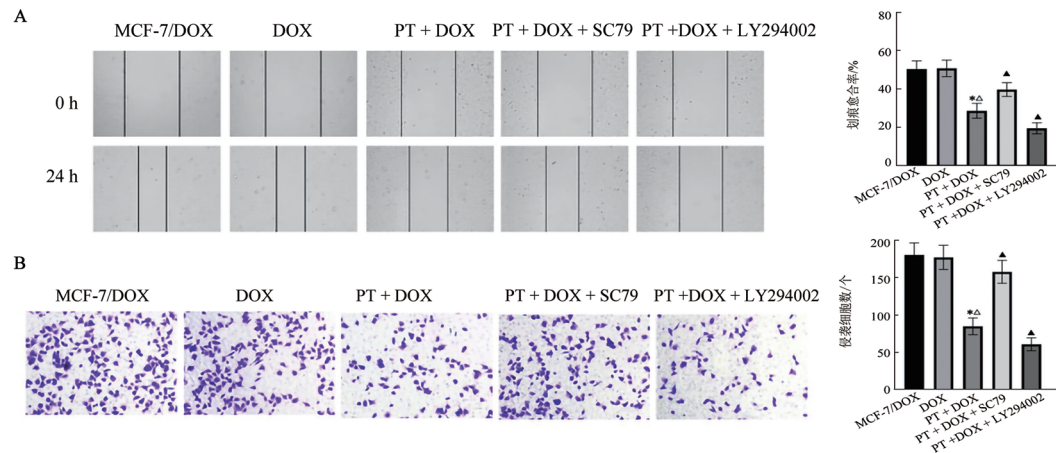
与 MCF-7/DOX 组相比, \* $P < 0.05$ ; DOX 组相比,  $\Delta P < 0.05$ ; 与 PT + DOX 组相比,  $\blacktriangle P < 0.05$ 。

图5 各组 MCF-7/DOX 细胞增殖及克隆形成情况

### 2.6 PT 对 MCF-7/DOX 细胞迁移和侵袭的影响

划痕愈合实验(图 6A)与 Transwell 实验(图 6B)检测结果显示, MCF-7/DOX 组与 DOX 组 MCF-7/DOX 细胞间的划痕愈合率及侵袭细胞数差异无统计学意义(均  $P > 0.05$ ); 与 MCF-7/DOX 组、DOX 组对

比, PT + DOX 组细胞划痕愈合率及侵袭细胞数均降低(均  $P < 0.05$ ); 与 PT + DOX 组相比, PT + DOX + SC79 组细胞划痕愈合率及侵袭细胞数均升高, PT + DOX + LY294002 组细胞划痕愈合率及侵袭细胞数均降低(均  $P < 0.05$ )。



A: 划痕实验检测细胞划痕愈合率( $\times 100$ ); B: Transwell 实验检测侵袭细胞数( $\times 200$ )。

与 MCF-7/DOX 组相比, \* $P < 0.05$ ; DOX 组相比,  $\Delta P < 0.05$ ; 与 PT + DOX 组相比,  $\blacktriangle P < 0.05$ 。

图6 各组 MCF-7/DOX 细胞迁移和侵袭情况

### 2.7 PT对MCF-7/DOX细胞AKT/GSK-3β信号通路蛋白的影响

WB法检测结果(图7)显示,MCF-7/DOX组与DOX组MCF-7/DOX细胞间的总AKT、GSK-3β及磷酸化蛋白水平差异无统计学意义(均 $P > 0.05$ );与MCF-7/DOX组、DOX组相比,PT+DOX组细胞p-AKT、p-GSK-3β蛋白表达均降低(均 $P < 0.05$ ),总AKT与GSK-3β水平差异无统计学意义(均 $P > 0.05$ );与PT+DOX组相比,PT+DOX+SC79组细胞p-AKT、p-GSK-3β蛋白表达均升高,PT+DOX+LY294002组细胞p-AKT、p-GSK-3β蛋白表达均降低(均 $P < 0.05$ ),AKT、GSK-3β蛋白表达无显著差异(均 $P > 0.05$ )。

### 2.8 PT明显抑制MCF-7/DOX细胞裸鼠移植瘤的生长

与对照组对比,DOX组裸鼠体质量及瘤质量、瘤体积差异无统计学意义(均 $P > 0.05$ ),PT+DOX组体质量显著增加,瘤质量、瘤体积显著降低(均 $P < 0.05$ ),见图8。

### 2.9 PT抑制移植瘤组织中AKT/GSK-3β通路的磷酸化水平

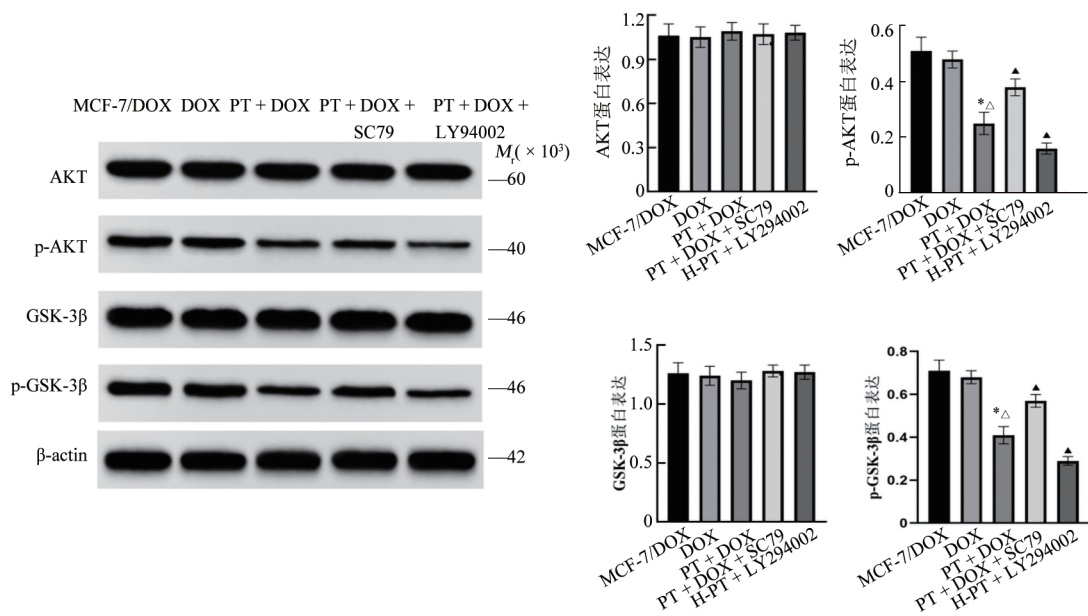
WB检测结果(图9)显示,与对照组相比,DOX

组裸鼠肿瘤组织中AKT、p-AKT、GSK-3β、p-GSK-3β蛋白表达差异无统计学意义(均 $P > 0.05$ ),PT+DOX组p-AKT、p-GSK-3β蛋白表达均降低(均 $P < 0.05$ ),AKT、GSK-3β蛋白表达无显著差异(均 $P > 0.05$ )。

## 3 讨论

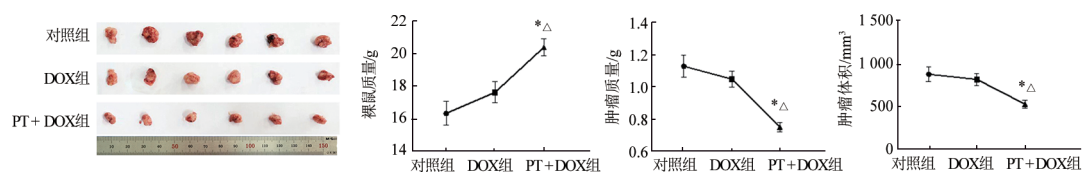
乳腺癌是全球女性最常见的恶性肿瘤之一,是一种高度异质的恶性肿瘤,细胞及分子特征差异显著<sup>[13]</sup>。目前,乳腺癌治疗方法包括手术、放疗、内分泌调节等,其中手术是针对早期乳腺癌的首选治疗方法,然而多数患者确诊时已属晚期,增加治疗难度<sup>[14]</sup>。手术切除联合术后辅助化疗是晚期乳腺癌患者主要治疗手段,可显著提高晚期乳腺癌患者生存率。DOX是乳腺癌化疗常用蒽环类抗生素,具有光谱抗癌和杀伤力强等特点,然而长期应用易产生耐药,疗效显著降低<sup>[15-16]</sup>。因此,探寻可增强化疗敏感性的新型抗癌策略对乳腺癌患者治疗尤为重要。

天然产物蕴含丰富生物活性成分,其抗癌活性受到广大研究者关注。PT是一种三萜类奎宁化合物,长期以来一直被用于抗疟疾、抗菌、抗炎等,最近



与MCF-7/DOX组相比,\* $P < 0.05$ ;DOX组相比,^ $P < 0.05$ ;与PT+DOX组相比,^Δ $P < 0.05$ 。

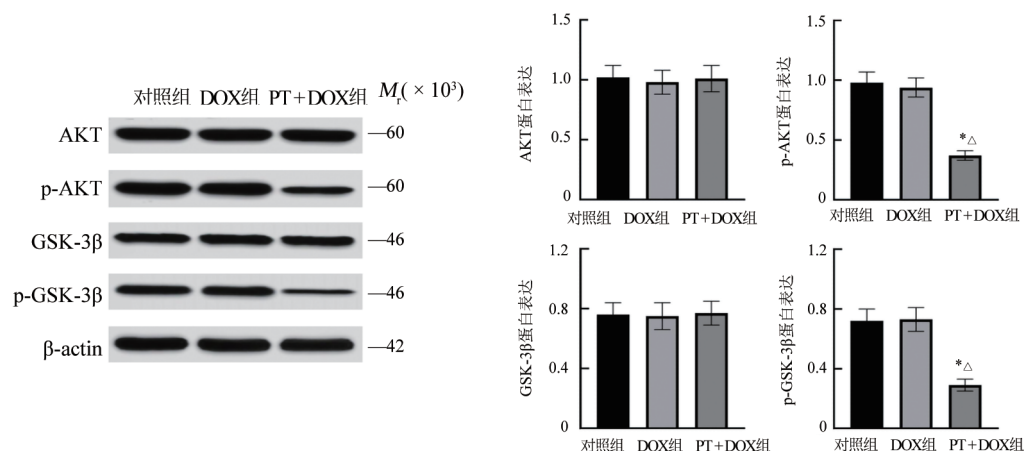
图7 各组MCF-7/DOX细胞AKT/GSK-3β通路蛋白对比



与对照组对比,\* $P < 0.05$ ;与DOX组对比,^Δ $P < 0.05$ 。

图8 各组裸鼠肿瘤质量和肿瘤体积对比





与对照组对比, \* $P < 0.05$ ; 与 DOX 组对比,  $\Delta P < 0.05$ 。

图9 各组裸鼠肿瘤组织相关蛋白质表达情况

研究<sup>[17]</sup>发现, PT 可显著诱导肺癌、神经胶质瘤及前列腺癌细胞凋亡并抑制增殖。LI 等<sup>[17]</sup>研究显示, PT 可呈剂量依赖性方式诱导肺癌细胞凋亡、抑制细胞迁移和侵袭, 展现出良好的抗肺癌潜力。本研究以不同浓度 PT 处理 MCF-7 细胞, 结果发现: PT 在一定范围内呈剂量依赖性抑制 MCF-7 细胞增殖、迁移和侵袭, 提示 PT 在乳腺癌中表现为抗肿瘤特性, 进一步证实了 PT 的抗肿瘤作用。CHEN 等<sup>[18]</sup>研究发现, PT 不仅具有抗癌活性, 还可增强非小细胞肺癌细胞对紫杉醇的化疗敏感性。因而推测 PT 对乳腺癌细胞化疗敏感性可能同样具有增强作用。本研究结果显示, 相比 DOX 单独处理, 以 PT 干预 DOX 处理下的 MCF-7 细胞, 可有效抑制 MCF-7/DOX 细胞增殖、迁移和侵袭, 提示 PT 可增强 MCF-7 细胞化疗敏感性, 发挥抗乳腺癌功效。

AKT 是一种进化上保守的丝/苏氨酸蛋白激酶, 磷酸化的 AKT 可促进 EMT 进程, 参与多种恶性肿瘤细胞常见的生物学行为<sup>[19]</sup>。GSK-3 $\beta$  是 AKT 的经典下游, AKT 的磷酸化可导致 GSK-3 $\beta$  活化, 常与 AKT 共同作用参与 EMT<sup>[20]</sup>。AKT/GSK-3 $\beta$  信号通路激活可促进食管鳞癌细胞 EMT 的发生, 促进食管鳞癌的发展<sup>[21]</sup>。ZHANG 等<sup>[22]</sup>研究显示, 酸敏离子通道 1a 可通过 AKT/GSK-3 $\beta$ /Snail 通路促进 EMT, 进而介导肝细胞癌的化疗耐药。本研究结果显示, 对比 DOX 组, 与 DOX 组相比, PT 联合 DOX 显著下调 MCF-7/DOX 细胞 p-AKT 及 p-GSK-3 $\beta$  水平, 表明 AKT/GSK-3 $\beta$  信号通路可能参与 PT 对 MCF-7 细胞化疗敏感性的增强过程。以 PT 和 AKT/GSK-3 $\beta$  信号通路激活剂 LY294002 联合干预 DOX 处理下的 MCF-7/DOX 细胞, 可进一步增强 PT 单药的抗增殖、迁移与侵袭效应, 以 PT 和 AKT/GSK-3 $\beta$  信号通路抑制剂 SC79 联合干预 DOX 处理下的 MCF-7/DOX 细胞, 可逆转 PT 单

药的抗增殖、迁移与侵袭效应。表明 PT 经抑制 AKT/GSK-3 $\beta$  通路抑制 MCF-7 细胞增殖、迁移与侵袭, 增强 MCF-7 细胞对 DOX 的化疗敏感性。为了进一步证实该结论, 进行了动物移植瘤实验, 结果显示, 与对照组和 DOX 组相比, PT 组裸鼠肿瘤质量和肿瘤体积、p-AKT、p-GSK-3 $\beta$  蛋白均显著降低, 提示在体内 PT 同样可通过抑制 AKT/GSK-3 $\beta$  通路增强 MCF-7 细胞 DOX 敏感性。

综上, PT 显著抑制 AKT/GSK-3 $\beta$  磷酸化, 抑制乳腺癌细胞增殖、迁移和侵袭, 增强乳腺癌细胞对 DOX 的化疗敏感性, 发挥抗乳腺癌作用, 调节 AKT/GSK-3 $\beta$  信号通路可能是其药理机制。然而本研究主要以细胞为研究对象, 未动态监测荷瘤小鼠体质量及肿瘤质量等变化, 后续需扩大动物实验规模以深入验证。

## [参考文献]

- [1] POPA M T, NODIȚI A, PELEAȘĂ T M, *et al.* Breast cancer: a heterogeneous pathology. prognostic and predictive factors-A narrative review[J]. *Chirurgia*, 2025, 120(1): 32-47. DOI:10.21614/chirurgia.3100.
- [2] 冯亚婵, 张皓杰, 杜朝, 等. 青蒿素通过 TIGIT/CD155 信号轴调控 4T1 乳腺癌细胞转移与凋亡[J]. *中国生物化学与分子生物学报*, 2024, 40(1): 131-141. DOI:10.13865/j.cnki.cjmb.2023.12.1272.
- [3] CHEN Q, LIU Y Q, ZHU X L, *et al.* Increased NHE1 expression is targeted by specific inhibitor cariporide to sensitize resistant breast cancer cells to doxorubicin *in vitro* and *in vivo*[J/OL]. *BMC Cancer*, 2019, 19(1): 211 [2025-05-25]. <https://pubmed.ncbi.nlm.nih.gov/30849956/>. DOI:10.1186/s12885-019-5397-7.
- [4] WANG C Z, CAO F, CAO J H, *et al.* CD58 acts as a tumor promoter in hepatocellular carcinoma *via* activating the AKT/GSK-3 $\beta$ -catenin pathway[J/OL]. *J Transl Med*, 2023, 21(1): 539 [2025-05-25]. <https://pubmed.ncbi.nlm.nih.gov/37573318/>. DOI:10.1186/s12967-023-04364-4.

- [5] 赵萍萍, 李美芳, 袁崇芬, 等. 异橙黄酮通过 AKT/GSK-3 $\beta$ /catenin 信号通路诱导胃癌 AGS 细胞凋亡和周期阻滞研究[J]. 中国药师, 2022, 25(1): 41-48. DOI:10.19962/j.cnki.issn1008-049X.2022.01.007.
- [6] QI Y B, YAO L, LIU J K, *et al.* Piperine improves the sensitivity of osteosarcoma cells to doxorubicin by inducing apoptosis and inhibiting the PI3K/AKT/GSK-3 $\beta$  pathway[J/OL]. *J Orthop Surg Res*, 2023, 18(1): 180 [2025-05-25]. <https://pubmed.ncbi.nlm.nih.gov/36895009/>. DOI:10.1186/s13018-023-03642-7.
- [7] LI J J, GUO Q R, LEI X P, *et al.* Pristimerin induces apoptosis and inhibits proliferation, migration in H1299 Lung Cancer Cells[J]. *J Cancer*, 2020, 11(21): 6348-6355. DOI:10.7150/jca.44431.
- [8] 于彬, 于勇, 时磊, 等. 扁蒴藤素对肝细胞癌细胞生物学行为及吉西他滨化疗敏感性的影响[J]. 中国普通外科杂志, 2023, 32(2): 221-230.
- [9] 刘臻臻, 宋远鹏, 郑小东, 等. 益母草碱调节 JAK2/STAT3 信号通路对乳腺癌细胞化疗敏感性的影响[J]. 中国优生与遗传杂志, 2023, 31(10): 1973-1979. DOI:10.13404/j.cnki.cjbbh.2023.10.014.
- [10] TANG Y B, LEI Y Y, HUANG S, *et al.* Pristimerin exacerbates cellular injury in conditionally reprogrammed patient-derived lung adenocarcinoma cells by aggravating mitochondrial impairment and endoplasmic reticulum stress through EphB4/CDC42/N-WASP signaling[J/OL]. *Oxid Med Cell Longev*, 2020, 2020: 7409853 [2025-05-25]. <https://pubmed.ncbi.nlm.nih.gov/32733636/>. DOI: 10.1155/2020/7409853.
- [11] 陈君, 李林艳, 赵晓勇, 等. 罗哌卡因通过 AKT/GSK-3 $\beta$ /catenin 信号通路对膀胱癌细胞生长和化疗效果影响[J]. 中华肿瘤防治杂志, 2023, 30(20): 1208-1222. DOI:10.16073/j.cnki.cjcp.2023.20.02.
- [12] 吴雷, 王玲玲. 扁蒴藤素对非小细胞肺癌增殖及线粒体膜电位的调节作用[J]. 北华大学学报(自然科学版), 2021, 22(3): 319-323. DOI:10.11713/j.issn.1009-4822.2021.03.007.
- [13] MOURA T, LARANJEIRA P, CARAMELO O, *et al.* Breast cancer and tumor microenvironment: the crucial role of immune cells[J/OL]. *Curr Oncol*, 2025, 32(3): 143[2025-05-25]. <https://pubmed.ncbi.nlm.nih.gov/40136347/>. DOI:10.3390/curroncol32030143.
- [14] LEON-FERRE R A, HIEKEN T J, BOUGHEY J C. The landmark series: neoadjuvant chemotherapy for triple-negative and HER2-positive breast cancer[J]. *Ann Surg Oncol*, 2021, 28(4): 2111-2119. DOI:10.1245/s10434-020-09480-9.
- [15] 赵琳, 朱宏飞. 瑞香素调节 Shh/Gli1 信号通路对乳腺癌增殖、凋亡和化疗敏感性的影响[J]. 河北医药, 2024, 46(4): 534-538. DOI: 10.3969/j.issn.1002-7386.2024.04.011.
- [16] XU Z, WANG X M, SUN W B, *et al.* RelB-activated GPX4 inhibits ferroptosis and confers tamoxifen resistance in breast cancer[J/OL]. *Redox Biol*, 2023, 68: 102952 [2025-05-25]. <https://pubmed.ncbi.nlm.nih.gov/37944384/>. DOI:10.1016/j.redox.2023.102952.
- [17] YAN F X, LIAO R F, SILVA M, *et al.* Pristimerin-induced uveal melanoma cell death via inhibiting PI3K/Akt/FoxO3a signalling pathway[J]. *J Cell Mol Med*, 2020, 24(11): 6208-6219. DOI: 10.1111/jcmm.15249.
- [18] CHEN C, DU S Y, ZHONG W, *et al.* Accurate delivery of pristimerin and paclitaxel by folic acid-linked nano-micelles for enhancing chemosensitivity in cancer therapy[J/OL]. *Nano Converg*, 2022, 9(1): 52 [2025-05-25]. <https://pubmed.ncbi.nlm.nih.gov/36427092/>. DOI: 10.1186/s40580-022-00343-5.
- [19] ZHAO H Q, WANG L, WANG S F, *et al.* CHN1 promotes epithelial-mesenchymal transition via the Akt/GSK-3 $\beta$ /Snail pathway in cervical carcinoma[J/OL]. *J Transl Med*, 2021, 19(1): 295[2025-05-25]. <https://pubmed.ncbi.nlm.nih.gov/34238315/>. DOI: 10.1186/s12967-021-02963-7.
- [20] 竺东杰, 邹杰, 余史丹, 等. 葛根素通过抑制 PI3K/Akt/GSK-3 $\beta$  信号通路诱导人肾癌 786-O 细胞凋亡的研究[J]. 浙江中西医结合杂志, 2023, 33(10): 893-898.
- [21] 孙盈, 杨锋, 夏靖华, 等. HIP1 影响食管鳞癌 Akt/GSK3 $\beta$  信号通路及 EMT 相关蛋白表达分析[J]. 肿瘤学杂志, 2020, 26(5): 407-412.
- [22] ZHANG Y C, CAO N D, GAO J F, *et al.* ASIC1a stimulates the resistance of human hepatocellular carcinoma by promoting EMT via the AKT/GSK3 $\beta$ /Snail pathway driven by TGF $\beta$ /Smad signals [J]. *J Cell Mol Med*, 2022, 26(10): 2777-2792. DOI: 10.1111/jcmm.17288.

[收稿日期] 2024-11-03

[修回日期] 2025-05-26

[本文编辑] 黄静怡